

ΓΕΩΔΑΙΤΙΚΕΣ ΔΕΣΜΕΥΣΕΙΣ ΣΤΟ ΜΗΧΑΝΙΣΜΟ ΓΕΝΕΣΗΣ ΤΗΣ ΣΕΙΣΜΙΚΗΣ ΑΚΟΛΟΥΘΙΑΣ ΤΟΥ ΑΛΜΥΡΟΥ ΤΟΥ 1980*

Σ. ΣΤΕΙΡΟΣ¹ & Α. ΧΑΣΑΠΗΣ²

ΠΕΡΙΛΗΨΗ

Επαναμέτρηση χωροσταθμικής όδευσης ακολούθιας που διασχίζει την επικεντρωκή περιοχή των σεισμών του Αλμυρού του 1980 έδειξε ότι μεταξύ 1970/71 και 1988/89 παρατηρήθηκε βύθιση του ιλάχιστον 25-30 επ. της αλλοιωσιακής λεκάνης Αλμυρού σε σχέση με το βόρειο περιθώριο της λεκάνης. Το περιθώριο αυτό καθορίζεται από το σημαντικό φύγμα της Νέας Αγχιάλου το οποίο, από σεισμολογικά στοιχεία και παρατηρήσεις υπαίθρου, συνέρχεται ότι ανέδρασε κατά τη σεισμική ακολούθια του 1980 ($M=6.5$). Από τα γεωδεσικά στοιχεία επιβεβαιώνεται η επιφανειακή ανάδραση τμήματος του φύγματος Νέας Αγχιάλου σε μήκος τουλάχιστον 8χλμ, από Αγχιάλο προς Μικροθήβες, με άλιμα αυξανόμενο προς δυσμάς και εύρος τουλάχιστον 30 επ.

ABSTRACT

Repeated measurement of a high precision, 20-km long leveling traverse crossing the epicentral area of the 1980 Magnesia (Central Greece) earthquake of magnitude 6.5 showed a minimum 25-30cm subsidence of the alluvial basin of Almyros relative to its northern margin between 1988/89 and 1970/71. This margin is controlled by the Nea Aghialos fault which was reactivated in 1980, as seismological and field data reveal. Observed subsidence is significant against random and systematic errors, and can be interpreted as a seismic effect. Geodetic evidence hence confirms the reactivation of the Nea Aghialos fault during the 1980 earthquakes along a distance of at least 8km, and indicates that its throw was increases towards west, up to a minimum amplitude of 25-30cm.

ΑΞΕΙΣ ΚΛΕΙΔΙΑ: Αλμυρός, Νέα Αγχιάλος, σεισμιός, σεισμικό φύγμα, χωροστάθμιση, βύθιση, ανέδραση φύγματος, κανονικό φύγμα

KEY WORDS: Almyros, Nea Aghialos, Central Greece, earthquake, seismic fault, repeated leveling, subsidence, fault reactivation, normal fault

1. ΕΙΣΑΓΩΓΗ

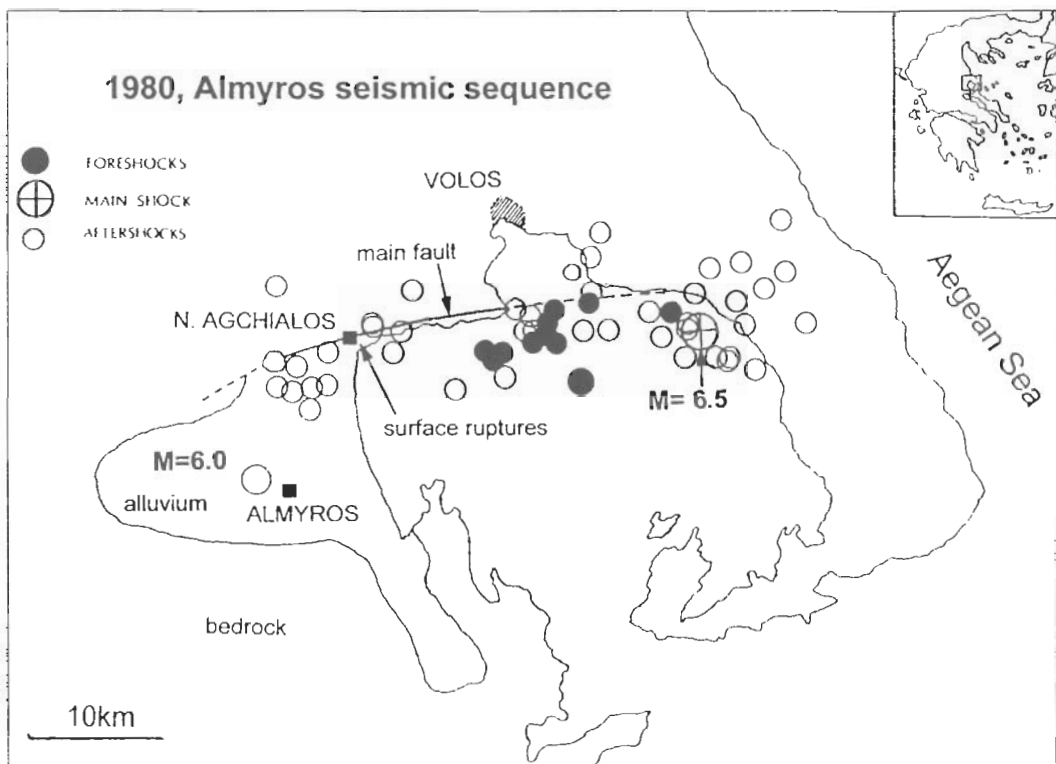
Η σεισμική ακολουθία του Αλμυρού του Ιούλιου 1980 ($M=6.5$, σχ. 1) ήταν μιά από τις πιο σημαντικές και καταστροφικές που έπληξαν την Ελλάδα τις τελευταίες δεκαετίες, δεν έχει όμως μελετηθεί επαρκώς. Στην ποσομετρικότητα, στη διεθνή βιβλιογραφία εκτός από ένα βασικό άρθρο των Papazachos et al. (1983) και τον υπολογισμό του εστιακού μηχανισμού ενός μετασεισμού της σεισμικής αυτής ακολουθίας από τους Jackson et al. (1982), δεν υπάρχουν παρα έλαχιστες αναφορές, ενώ παραμένουν ακόμη αδημοσίευτα τα αποτελέσματα του σεισμογραφικού δικτύου VOLNET που είχε εγκατασταθεί στην περιοχή μετά το σεισμό. Ο βασικός λόγος που απέτρεψε τους διάφορους

* GEODETIC CONSTRAINTS TO THE FOCAL MECHANISM OF THE 1980, ALMYROS (CENTRAL GREECE) SEISMIC SEQUENCE

¹ Τμήμα Πολιτικών Μηχανισμών, Πανεπιστήμιο Ηπειρού, Πάτρα 26500

² Ψηφιακή Βιβλιοθήκη "Θεόφραστος" - Τμήμα Γεωλογίας, Α.Π.Θ.

σεισμολόγους από το να αισχοληθούν με ένα σημαντικό σεισμό σε μιά περιοχή με ιδιαίτερα βεβαιωμένο σεισμικό παρελθόν (η Θεσσαλία τον αιώνα αυτό μάλιστα έχει δοκιμαστεί από σεισμό με μέγεθος 7, βλ. Παπαζάχος και Παπαζάχου, 1989) είναι ότι του σεισμού αυτού προηγήθηκε μιά άλλη μεγάλη σεισμική αισθητική στην Απω Ανατολή, με συνέπεια οι σεισμογιγάφει των παγκόσμιων δικτύων να τίνανε ενεργοποιημένοι και να καταγράφουν έναν ουνδιασμό σεισμικών κυμάτων από τις δύο διαφορετικές επιτεις που δεν προσφέρεται για αξιόπιστη ανάλυση (J. Jackson, προφ. επικοινωνία).



Σχήμα 1: Κατανομή επικέντρων σεισμικής αισθητικής Ιούλιος 1980 Μαγνησίας. Τα επίκεντρα συγχέονται σαφώς με το ζήτημα της Νέας Αγχιάλου (απλογοτεριμένο από Papazachos et al., 1983).

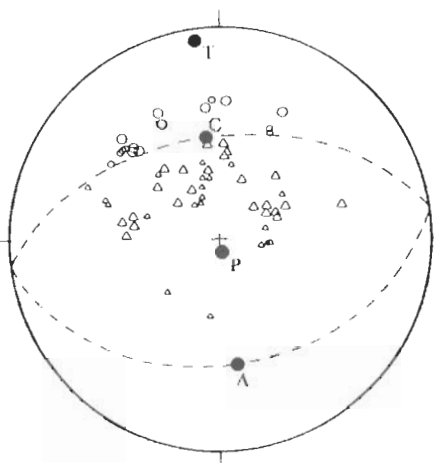
Figure 1: Distribution of epicenters of the July 1980, Magnesia seismic sequence. Epicenters correlate with the Nea Agchialos fault (simplified after Papazachos et al., 1983)

Μερικά χρόνια μετά το σεισμό, στα πλαίσια της οινοτηματικής μελέτης της ενεργού τεκτονικής που επελέστηκαν με βάση γεωδαιτικά και άλλα δεδομένα, εντοπίστηκαν οοιμιένες χωροσταθμώνες οδεύσεις αποβίεις του Εθνικού Γεωδαιτικού Δικτύου της Γεωγραφικής Υπηρεσίας Στρατού που διασχίζουν την επικεντρική περιοχή των σεισμών του 1980. Οι χωροσταθμώνες αυτές οδεύσεις είχαν μετοχθεί δέκα περίπου χρόνια πριν και επικυρώθηκε ότι θα είχαν "καταγράψει" τυχόν επιφανειακές κατακόρυφες τεκτονικές παραμορφώσεις του στερεού φλοιού της γης που αναμένετο να έχουν προκληθεί από τους σεισμούς αυτούς. Για το λόγο αυτό έγινε επιανιερησμη των οδεύσεων αυτών σε μήκος 20 περίπου χιλιομέτρων.

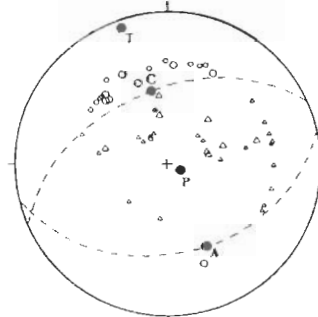
Στο παρόν άρθρο παρουσιάζονται τα αποτελέσματα της οίγνωσης προσεισμών και μετασεισμών χωροσταθμικών μετρήσεων στην περιοχή αυτή, καθώς επίσης και οοιμιένα συμπτερασμάτα για το μηχανισμό γένεσης της σεισμικής αισθητικής της Μαγνησίας του 1980 που προκύπτουν από τα γεωδαιτικά στοιχεία.

Ψηφιακή Βιβλιοθήκη "Θεόφραστος" - Τμήμα Γεωλογίας, Α.Π.Θ.

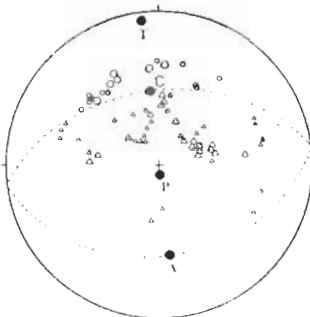
1980.07.09 M=6.5



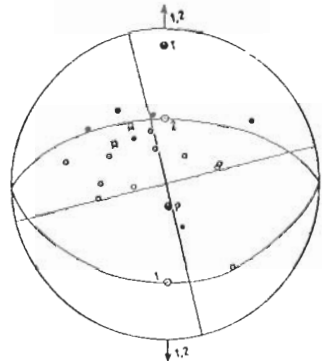
1980.07.09 M=6.0



1980.07.09 M=5.6



1980.07.10 M=5.4



Σχήμα 2: Εοτικοί μηχανισμοί των κυριών γεγονότων της σεισμικής ασθλουθίας κατά Papazachos et al. (1983) και Jackson et al. (1982). Οι μηχανισμοί δεν είναι καλά δεσμευμένοι, δείχνουν όμως ουφώς κανονικό φήμα.

Figure 2: Focal mechanisms of the main events of the seismic sequence according to Papazachos et al. (1983) and Jackson et al. (1982). Although not well constrained, they clearly show normal faulting.

2. ΥΠΑΡΧΟΥΣΕΣ ΠΛΗΡΟΦΟΡΙΕΣ ΓΙΑ ΤΟ ΣΕΙΣΜΟ

Οι υπάρχουσες σεισμολογικές και τεκτονικές πληροφορίες για τη σεισμική ακολουθία της Μαγνησίας του Ιουλίου 1980 συνοψίζονται στο άρθρο των Papazachos et al. (1983). Σύμφωνα με το άρθρο αυτό, η σεισμική ακολουθία προερχόταν από φήματα του ανώτερου τιμήματος των φλοιού (υπόκεντρα σε βάθη 9-15χλμ για τα μεγαλύτερα σεισμικά γεγονότα) και αποτελείτο από ένα κύριο σεισμό μεγέθους $M=6.5$ και ένα μεγάλο αριθμό προσεισμών και μετασεισμών, ο μεγαλύτερος από τους οποίους είχε μέγεθος $M=6.0$. Για τους δύο αυτούς σεισμούς, καθώς και τον κύριο προσεισμό ($M=5.6$), οι Papazachos et al. (1983) παρουσίασαν εστιακούς μηχανισμούς βασισμένου σε πρώτες αφίξεις κυμάτων σε σεισμογράφους μακράς και βραχείας περιόδου. Εστιακό μηχανισμό ενός άλλου μετασεισμού ($M=5.4$, 1980.07.10) παρουσίασαν οι Jackson et al. (1982) βασισμένοι σε καταγραφές μακράς περιόδου του WWSSN (Σχήμα 2).

Και οι τέσσερεις αυτοί σεισμοί αναγνωρίζονται ως "εστιακοί" ή "πρώτες αφίξεις". Την ίδια σεισμική ασθλουθία παρατηρήθηκε στην θερινή περίοδο 1980, με κανονικά

οργήματα. Οι υπάρχουσες καταγραφές των σεισμογράφων ασφαλώς δεν επέτρεπαν σαφή προσδιορισμό των δύο εστιακών επιπέδων, προτιμήθηκαν όμως λόγως ποιν εμφανίζουν σεισμικό κανονικό φήμια με διεύθυνση περίπου Α-Δ (σχ. 2). Η λύση αυτή είναι σύμφωνη αφ' ενός με την σχεδόν γραμμική κατανομή των επικέντρων των σημαντικότερων σεισμών της σεισμικής ακολουθίας, και αφ' ετέρου με τα διαθέσιμα σεισμολογικά και τεκτονικά στοιχεία. Στις 30 Απριλίου 1985 ένας άλλος σεισμός με την ίδια επικεντρική περιοχή μεγέθους $M=5.8$ είχε μηχανισμό ίδιο με αυτούς του σχήματος 2 (Γαύμας et al., 1991). Μελέτες πεδίου εξ άλλου έδειξαν ότι τα επικεντρά των σεισμών της σεισμικής ακολουθίας συσχετίζονται με σημαντικό κανονικό φήμια διεύθυνσης ΔΝΔ-ΒΒΔ έως Α-Λ που σημειώνεται με το βρόχειο περιθώριο της αλλοιωτικής λεκάνης του Αλμυρού και του Βόρειου Παγασητικού και είναι υπεύθυνο για τη γεωφυσική και γεωλογική εξέλιξη της περιοχής (φήμια Νέας Αγχιάλου, Papazachos et al., 1983, Caputo et al., 1996, Caputo and Pavlides, 1993). Επι πλέον, στην περιοχή της Νέας Αγχιάλου παρατηρήθηκαν και εδαφικές μικροδιαφορές που ερμηνεύτηκαν ως ανάδραση του συγκεκριμένου φήματος (σχ. 1, 3, Papazachos et al., 1983).

3. ΓΕΩΔΑΙΤΙΚΑ ΣΤΟΙΧΕΙΑ

Στα πλαίσια της εγκατάστασης ενός Εθνικού Χωροσταθμικού Αικτήνου μετρήθηκαν από τη ΓΥΣ το 1970/71 δύο συνεχόμενες χωροσταθμικές οδεύσεις νησηλής ακροβείας κατά μήκος της οδού Λαμίας-Μικροθηβών και Μικροθηβών- Βόλου (σχ. 3). Οι χωροσταθμίσεις αυτές ήλοποτήθηκαν με βάση χωροσταθμικές αφετηρίες (ρεπέρ) που είχαν εγκατασταθεί σε τεχνικά έργα δίπλα στο οδόστρωμα της οδού και απεύχαν μεταξύ τους ένα χιλιόμετρο κατά μέσο όρο.

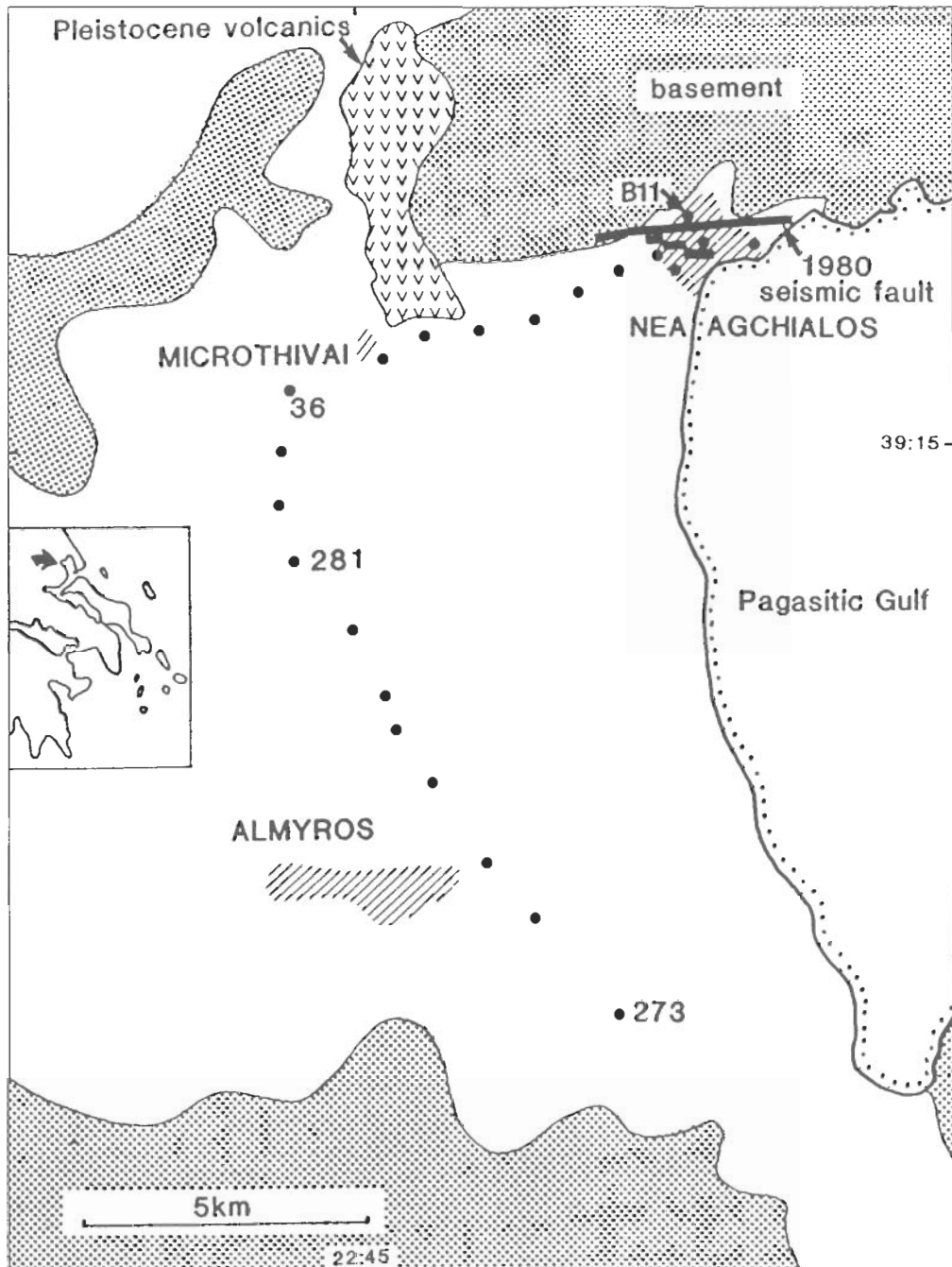
Μία δεκαετία περίπου μετά την εγκατάσταση και μέτρηση τους, στην επικεντρική περιοχή του σεισμού ανευρέθηκαν δέκα οκτώ από τα δευτέρα αυτά που κάλυπταν μάλισταν μέχρι λέγα χιλιόμετρα νότια από τον Αλμυρό. Τα τιμήματα αυτά των δύο οδεύσεων και η θέση των χωροσταθμικών αφετηριών που ήταν κοινές στις δύο μετρητικές περιόδους εμφανίζονται στο Σχ. 3. Και τα δύο τιμήματα εντοπίζονται στο κατερχόμενο τμήμα του φήματος που θεωρείται ότι ανέδρασε το 1980, και είναι το μεν ένα παράλληλο (τμήμα Αγχιάλου-Μικροθηβών, τμήμα Β11 έως 36) το δε άλλο κάθετο προς το συγκεκριμένο φήμια (τμήμα Μικροθηβών- Αλμυρού, τμήμα 36 έως 273).

Οι υφομετρικές διαφορές μεταξύ των δευτέρων που ανευρέθηκαν επαναμετρήθηκαν το 1988 και 1989 από συνεργείο του ΙΓΜΕ ακολουθώντας τις ίδιες περίπου αισθητής προδιαγραφές στις οποίες είχαν βασιστεί και οι μετρήσεις της πρώτης περιόδου της ΓΥΣ (χωροθήτης JENA N007 με ομηρόλλα, τούμπετρες σταδίες INVAR με αντιρρίδες και βάσεις, μέγιστη αισθητή μεταξύ σταδίων και οργάνου 25μ, διπλή μέτρηση σε δύο κατευθύνσεις σε κατάλληλες ατμοσφαιρικές συνθήκες με κοιτήσιο απόρριψης μέτρησης διαφορά 8χλστ σε τμήμα 1χλμ). Οι προδιαγραφές αυτές εξασφαλίζουν ακρίβεια υφομετρικών μεταβολών της τάξης του 1.4mm/S, όπου S η αισθητή μεταξύ δύο ομηρίων σε km (Stiros and Rondogianni, 1985) που υποδηλώνει ότι το αθροιστικό τυπικό σφάλμα μεταβολής υφομέτρων σε μήκος είκοσι χιλιομέτρων είναι μόλις της τάξης των 6mm.

Τα αποτελέσματα των υπολογισμένων υφομετρικών μεταβολών κατά μήκος των δύο συνεχόμενων οδεύσης, θεωρώντας τη χωροσταθμική αφετηρία Β11 στη Νέα Αγχιάλο ως ομηρείο αναφοράς (σταθερό ομηρείο), εμφανίζονται στο Σχ. 4. Ειδικώτερα εμφανίζονται οι υπολογισμένες υφομετρικές μεταβολές κατά μήκος της οδεύσης, καθώς και σε προβολή εγκάρσια και κατά μήκος του φήματος.

Οι παρατηρημένες σχετικές μεταβολές των υφομέτρων των χωροσταθμικών αφετηριών, της τάξης των 29 εκατοστών σε μήκος 18 χλμ κατά μέγιστο, είναι εμφανώς πολύ μεγαλύτερες από τα αναμενόμενα τυχαία σφάλματα. Αυτό υποδηλώνει ότι τα διαγράμματα του Σχ. 4 αντανακλούν πρωτηματικές σχετικές μεταβολές υφομέτρων που συνέβησαν στο διάστημα μεταξύ των δύο περιόδων μετρησεων, δηλαδή μεταξύ 1970/71 και 1988/89.

Ψηφιακή Βιβλιοθήκη "Θεόφραστος" - Τμήμα Γεωλογίας, Α.Π.Θ.

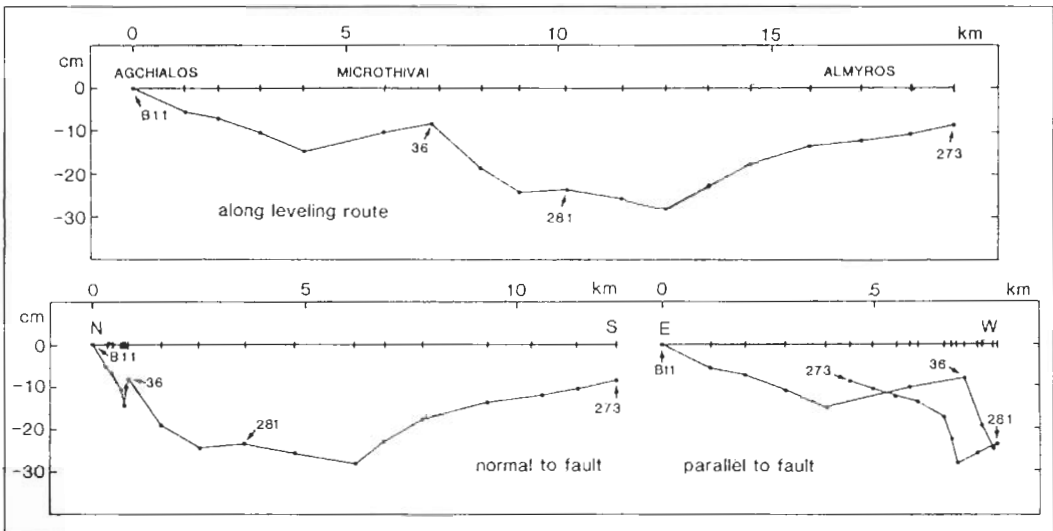


Σχήμα 3: Η θέση των χιωτοσταθμών αφετημένων (απέρι, που εμφανίζονται ως τέλειες) που ήταν κοινές στις δύο μετρητικές περιόδους, 1970/71 και 1988/89. Εμφανίζεται αρότιη η γεωλογία της περιοχής (απλουστευμένη από Katsikatos et al., 1986 και Marinos et al., 1962), η προσεγγιστική θέση του οργανιστού Νέας Αγχιάλου και η θέση των επιφανειακών σεισμικών διαφάνειεων του 1980 (οιμφανια με τους Papazachos et al., 1983).

Figure 3: Location of leveling benchmarks (solid dots) common in two measuring periods, 1970/71 and 1988/89. The geology of the area (simplified after Katsikatos et al., 1986 and Marinos et al., 1962), the approximate trace of the Nea Agchialos fault and of the 1980 surface seismic faults (after Papazachos et al., 1983) are also shown.

4. ΕΡΜΗΝΕΙΑ ΤΩΝ ΓΕΩΔΑΙΤΙΚΩΝ ΣΤΟΙΧΕΙΩΝ

Οι σχετικές υφομετρικές μεταβολές που παρατηρήθηκαν μεταξύ 1970/71 και 1988/89 στην περιοχή Αλμυρού έχουν σημαντικό ενδος, μερικές δεκάδες εκατοστά, και συνέβησαν σε ένα χρονικά περιορισμένο διάστημα το οποίο περιλαμβάνει τη σεισμική ακολουθία του 1980. Επειδή κανένα άλλο γεγονός το οποίο θα μπορούσε να συνδεθεί με κατακόρυφες μεταβολές του εύρους αυτού δεν συνέβη στην περιοχή το διάστημα αυτό, η μόνη λογική εμμηνεία είναι να τις αποδόσουμε στη σεισμική ακολουθία του 1980. Είναι επιπλέον εύλογο να επιχειρήσουμε να εξάγουμε συμπεράσματα για ωριμότερες παραμέτρους της σεισμικής ακολουθίας βασισμένου στις γεωδαιτικές αυτές πληροφορίες.



Σχήμα 4: Υψομετρικές μεταβολές κατά μήκος των χωροσταθμιζών οδεύσεων θεωρώντας το σημείο B11 στην περιοχή Νέας Αγχιάλου σταθερό. Οι παρατηρημένες μεταβολές αυτές είναι στατιστικά σημαντικές (το σημαντικότερο σφάλμα σε μήκος 20 χιλιομέτρων είναι 6 μόλις χιλιοστά) και εμφανίζονται σε τοις διαφορετικά διαγράμματα ως μεταβολές κατά μήκος της δύνησης, παράλληλα προς το φήμια και κάθετα προς αυτό. Από τα διαγράμματα αυτά προκύπτει ότι οι σεισμοί του 1980 προσάλλοσαν σχετική βιθύση της τάλαιφιας λεκάνης Αλμυρού σε σχέση με το βόρειο περιθώριο της κατά τουλάχιστον 25-30ετ., ότι ενεργοποιήθηκε τονάχιστο το τμήμα του φήμιατος μεταξύ Νέας Αγχιάλου και Μυροθήβων, και ότι το άλμα του σεισμικού φήμιατος αιχνένται προς δυσμάς.

Figure 4: Observed height changes along leveling route (top) and normal and parallel to fault (bottom). Changes are relative to benchmark B11 at Nea Agchialos and are statistically significant, for the cumulative error in a 25km long traverse is 6mm. These diagrams indicate that the 1980 earthquakes caused an at least 25-30cm subsidence of the alluvial plain relative to its northern margin, that an at least 8km long segment of the fault between Nea Agchialos and Microthivai reactivated, and that the fault throw was increasing to the west.

Το πρώτο συμπέρασμα είναι ότι τα επαναλειττυκά χωροσταθμικά στοιχεία εμφανίζουν μιά σχετική βιθύση του επιπέδου της λεκάνης του Αλμυρού σε σχέση με το βόρειο περιθώριο της. Επιπλέον, η μορφή της καμπύλης των υψομετρικών μεταβολών σε προβολή κάθετη προς το φήμια έχει σημαντικά μεγαλύτερη βαθμίδα προς βορρά, πρόχειρα που υποδηλώνει ότι το φήμια είχε κλίση προς νότο. Τα δύο αυτά δεδομένα είναι προφανώς σημαντικά με τα υπάρχοντα τεκτονικά και σεισμολογικά συμπεράσματα και επιβεβαιώνουν τη σύνδεση της σεισμικής ακολουθίας με το φήμια που οφείλεται το βόρειο περιθώριο της λεκάνης του Αλμυρού.

Οι εξεταζόμενες χωροσταθμικές οδεύσεις περιορίζονται στο χώρο της λεκάνης Αλμυρού, και για το λόγο αυτό παρέχουν πληροφορίες μόνο για τις ελάχιστες τιμές της σεισμικής παραμόρφωσης. Συνάγεται επομένως ότι στην επιφάνεια παρατηρήθηκε σχετική βιθύση του κατευρωμένου τεμάχους (hanging wall) του Φημιακής Βιβλιοθήκης "Θεόφραστος" της Τμήματος Πεωλογίας της ΑΠΘ. Θιβήσης παρατηρείται

λίγο πιό βόρεια από τον Αλμυρό. Το σεισμικό ωήγημα εξ ἄλλου φαίνεται ότι είχε μήκος τουλάχιστο 8χλμ., και ότι το τμήμα που πιστοποιήθηκε ότι ενεργοποιήθηκε εκτείνεται από τη Νέα Αγχιάλο μέχρι τις Μικροθήβες. Το σημπτέρασμα αυτό είναι σε απόλυτη συμφωνία με τα μακροσεισμικά στοιχεία που εμφανίζουν πλειόσειστη περιοχή μεταξύ Αγχιάλου και Αλμυρού (εντάσεις VIII-IX, Papazachos et al., 1983) και τις αναμενόμενες τιμές για ένα σεισμό μεγέθους 6.5 (42 εκ και 29χλμ αντίστοιχα, βλ. Παπαζάχος και Παπαζάχου, 1989, Πίνακας 7.5). Παράλληλα, από τη μεταβολή των υφομέτρων σε προβολή παραλληλη προς το ωήγημα συνάγεται ότι το άλμα του σεισμικού ωήγηματος ανέστιναν προς δυσμάς, και είχε τη μέγιστη παρατηρημένη τιμή του στην περιοχή Μικροθήβων (σχ. 3.4).

5. ΣΥΜΠΕΡΑΣΜΑ

Από την επαναλλειπτική μέτρηση δύο συνεχόμενων χωροσταθμικών οδεύσεων μεγάλης ακριβείας που διέσχιζε μεγάλο τμήμα της πλειόσειστης περιοχής της σεισμικής ακολουθίας του 1980 προέκυψε ότι η ακολουθία αυτή προκάλεσε βίθιση 25-30 τοντόλαχιστον εκατοστών του κατερχόμενου τεμάχους σημαντικού ωήγηματος που ορίζει το βόρειο περιθώριο της τριτογενούς-τεταρτογενούς λεκάνης Αλμυρού, καθώς και του Ηαγαστητικού Κόλπου. Η κίνηση αυτή εφιμερίεται ως ενεργοποίηση του ωήγηματος Νέας Αγχιάλου κατά τους σεισμούς του 1980, τοντόλαχιστον κατά το τμήμα μεταξύ της πόλης αυτής και των Μικροθήβων. Το εύρος της κατακόρυφης συνιωτώσας της κίνησης εκτιμάται σε 25-30 εκατοστά τοντόλαχιστον, ενώ συνάγεται ότι το άλμα του σεισμικού ωήγηματος ανέστιναν από ανατολάς προς δυσμάς. Τα σημερινά αυτά επιβεβαιώνουν προηγούμενες εκτιμήσεις για το μηχανισμό της σεισμικής ακολουθίας βασισμένες σε σεισμολογικά και τεκτονικά δεδομένα.

ΑΝΑΓΝΩΡΙΣΗ

Σχόλια του κ. Β. Παπαζάχου συνέβαλαν στην διαμόρφωση της τελικής μορφής του κειμένου αυτού.

ΒΙΒΛΙΟΓΡΑΦΙΑ

- CAPUTO, R. (1996). The active Nea Agchialos fault system (central Greece): comparison of geological, morphotectonic, archaeological and seismological data. *Annali di Geofisica*, 39, 557-574.
- CAPUTO, R. & PAVLIDES, S. (1993). Late Cainozoic geodynamic evolution of Thessaly and surroundings (central-northern Greece). *Tectonophysics*, 223, 339-362.
- JACKSON, J., KING, G. & VITA-FINZI, C. (1982). The neotectonics of the Aegean: an alternative view. *Earth Planet. Sci. Lett.*, 61, 303-318.
- ΚΑΤΣΙΚΑΤΣΟΣ et al. (1986). Γεωλογικός χάρτης Ελλάδος, Κλ. 1:50,000, φύλλο Βόλος, ΙΓΜΕ
- ΜΑΡΙΝΟΣ, Γ., ΑΝΑΣΤΟΠΟΥΛΟΣ, Ι., ΜΑΡΑΤΟΣ, Γ., ΜΕΛΙΔΩΝΗΣ, Ν. & ΑΝΔΡΟΝΟΠΟΥΛΟΣ, Β. (1962). Γεωλογικός χάρτης Ελλάδος, Κλ. 1:50,000, φύλλο Αλμυρός, ΙΓΜΕ.
- ΠΑΠΑΖΑΧΟΣ, Β. & ΠΑΠΑΖΑΧΟΥ, Κ. (1989). Οι σεισμοί της Ελλάδας. *Εκδόσεις Ζήτη*, Θεσσαλονίκη, 356 σελ.
- PAPAZACHOS, B., PANAGIOTOUPOULOS, D., TSAPANOS, T., MOUNTRAKIS, D. & DIMOPOULOS, G. (1983). A study of the 1980 summer seismic sequence in the Magnesia region of central Greece. *Geophys. J. R. astr. Soc.*, 75, 155-168.
- STIROS, S. & RONDOGIANNI, T. (1985). Recent vertical movements across the Atalandi fault-zone (central Greece). *Pageoph.*, 123, 837-848.
- TAYMAZ, T., JACKSON, J. & MCKENZIE, D. (1991). Active tectonics of the northern and central Aegean Sea. *Geophys. J. Int.*, 106, 433-490.